

تخلیص و ارزیابی خواص HBeAg نو ترکیب به همراه برجسب هیستیدینی با ساختار فیزیولوژیک طبیعی، بدنبال کلونینگ و بیان آن در *E. coli*

آرش آرش کیا^۱، فرزین روحوند^۱، سید مهدی سادات^۱، مهدی فروزنده^۲، صفیه امینی^۱، سعید عندلیبی^۱

۱- انستیتو پاستور ایران، بخش هپاتیت و ایدز

۲- دانشگاه تربیت مدرس، دانشکده علوم پزشکی، گروه بیوتکنولوژی پزشکی

چکیده

آلودگی به ویروس هپاتیت B (HBV) یکی از مسائل اصلی بهداشت جهانی است بطوریکه در حال حاضر حدود ۳۶۰ میلیون نفر در جهان و دو میلیون نفر در ایران به این ویروس آلوده اند. در میان آنتی ژنهای این ویروس، عملکرد فیزیولوژیک HBeAg هنوز نامشخص می باشد بطوریکه در بیماران HBeAg مثبت حضور این آنتی ژن بعنوان مارکر تکثیر ویروس در نظر گرفته می شود و احتمالاً در پاتوژنز و پایداری بیماری نقش دارد در حالیکه در بیماران HBeAg منفی، تفاوت قابل ملاحظه ای در سیر بالینی بیماری مشاهده نشده است. در حال حاضر دسترسی به مقادیر زیاد این آنتی ژن جهت کاربردهای تحقیقی و تشخیصی با استفاده از بیان این آنتی ژن بصورت نو ترکیب در سیستمهای بیانی مختلف، میسر گشته است. در تحقیق حاضر با هدف تولید HBeAg نو ترکیب به همراه برجسب هیستیدینی، بخشی از ژن HBeAg که دقیقاً مطابق با توالی کد کننده آنتی ژن موجود در خون بیماران مبتلا بود، جداسازی و در وکتور pQE-30 کلون گردید. این وکتور برجسب His 6x را به انتهای آمینی پروتئین مورد نظر متصل می کند. وکتور نو ترکیب حاصل جهت تایید صحت ساختار، تحت برش با آنزیمهای محدود کننده قرار گرفت و سپس به سلولهای *E. coli* M15 ترانسفورم گردیده و جهت بیان پروتئین، القاء شیمیایی با IPTG انجام شد. پس از انجام عمل تخلیص، نتایج SDS-PAGE، ELISA و وسترن بلا تیگ نشان داد که HBeAg نو ترکیب بدست آمده، خواص کامل آنتی ژنیک HBeAg که بطور فیزیولوژیک در خون بیماران مشاهده می شود را داراست و افزوده شدن اپی توپهای His-tag نه تنها اثری بر روی این خصوصیات نداشته است بلکه کاربرد این برجسب امکان استفاده از کروماتوگرافی جذبی با Ni-NTA و تخلیص آسان و یک مرحله ای پروتئین را فراهم می کند. این پژوهش یک روش ساده و کارآمد را برای تهیه HBeAg نو ترکیب به میزان زیاد و خلوص بالا برای کاربردهای تشخیصی و تحقیقی در باب فیزیولوژی و پاتوژنز این آنتی ژن معرفی می کند.

واژه‌های کلیدی: HBeAg نو ترکیب، برجسب هیستیدینی، خصوصیات فیزیولوژیک HBeAg، کروماتوگرافی جذبی

pQE30, Ni-NTA

که حاوی مناطق شناسایی آنزیم *BamHI* در انتهای ۵' خود بودند، جداسازی گردید. انجام PCR با مرحله دناتوراسیون اولیه به مدت ۳ دقیقه در ۹۴ درجه سانتی گراد آغاز گردید و با انجام ۳۰ سیکل متوالی (۹۴ °C به مدت ۴۵ ثانیه، ۴۸ °C به مدت ۴۵ ثانیه و ۷۲ °C به مدت ۶۰ ثانیه) ادامه یافته و نهایتاً با مرحله Final extension (به مدت ۱۰ دقیقه در ۷۲ °C) خاتمه یافت. محصول PCR پس از آنالیزهای آنزیمی و تایید صحت آن، در وکتور pQE-30 کلون شد. این وکتور دارای پروموتور فاز T5 و دو اپراتور بوده و در سمت ۵' محل کلون کردن ژن خارجی، دارای کدون آغاز (ATG) و توالی کد کننده هیستیدین (6xHis-tag) می باشد که به صورت فیوژن همراه با ژن خارجی بیان می گردد (شکل ۱). وکتور نو ترکیب حاصل (pQEH) به سویه *E. coli* DH5 α ترانسفورم شد و پس از تکثیر و استخراج پلاسمید، صحت جهت کلونینگ و نیز کاست بیانی به روش هضم آنزیمی مورد ارزیابی قرار گرفت. در نهایت وکتور نو ترکیب تایید شده به سویه بیانی *E. coli* M15 [pREP4] ترانسفورم گردید تا بیان ژن مورد بررسی قرار گیرد. کلیه روشهای مولکولی بر طبق پروتوکلهای استاندارد انجام پذیرفت [۱۸].

القاء، بهینه سازی و بررسی بیان پروتئین نو ترکیب: ابتدا یک کشت اولیه در ۵mL از محیط کشت 2xYT حاوی آمپی سیلین و کانامایسین تهیه شد و پس از یک شب انکوباسیون در ۳۷ درجه سانتی گراد، ۲۰۰ میکرولیتر از آن به ۱۰mL محیط 2xYT حاوی آنتی بیوتیک منتقل گردید و در ۳۷ درجه سانتی گراد همراه با چرخش ۱۵۰ rpm قرار داده شد تا جذب نوری آن در ۶۰۰nm به ۰/۵ تا ۰/۷ برسد. در این زمان ۱/۵mL از این محیط بعنوان نمونه قبل از القاء برداشت شده و به بقیه محیط کشت به میزان ۰/۰۵ mM از IPTG بعنوان القاء کننده افزوده شده و ۴ ساعت دیگر در شیکر انکوباتور ۳۷°C قرار گرفت. پس از گذشت این زمان، سه نمونه ۱/۵ میلی لیتری برداشت شده و یکی از نمونه ها

می باشد که با اتصال به Ni-NTA agarose باعث تخلیص سریع و راحت پروتئین می گردد ولی همزمان افزوده شدن این برچسب (tag) که حاوی چندین اپی توپ می باشد، امکان ایجاد تغییرات آنتی ژنیک در فیوژن پروتئین نو ترکیب را محتمل می سازد [۱۶]. هدف از مطالعه حاضر بررسی خواص آنتی ژنیک HBeAg تولید شده در چنین سیستمی با امکان کاربرد آن در مطالعات تشخیصی و تحقیقی می باشد. بنابر اطلاع ما این نخستین بار است که چنین مطالعه ای بر روی HBeAg با ساختاری مشابه آنچه در خون مبتلایان وجود دارد [۵]، صورت می پذیرد.

مواد و روش ها

در این پژوهش از آنزیم *Pwo* DNA polymerase (Roche) جهت انجام PCR استفاده گردید. وکتور pQE-30، Penta-His Ab، Ni-NTA agarose و سویه میزبانی *E. coli* M15 [pREP4] که مقاوم به کانامایسین می باشد از شرکت Qiagen تهیه گردیدند. آنزیمهای محدود کننده (Restriction enzyme) از شرکت Fermentas و آنتی بیوتیکها و غشاء نیتروسولوزی از شرکت Sigma خریداری شدند. محیطهای کشت از شرکت Monoclonal Anti-HBe، Gibco BRL از شرکت Biogenesis و سایر مواد از شرکت Merck تهیه گردیدند. سویه میزبانی *E. coli* DH5 α که جهت کلونینگ و استخراج پلاسمید بکار رفته است، مربوط به کلکسیون بخش هپاتیت و ایدز انستیتو پاستور می باشد.

روشهای مولکولی: ژن HBeAg (از کدون شماره ۱۰ ناحیه precore تا قبل از توالی غنی از آرژنین) از پلاسمید pHB320 که حاوی ژنوم کامل HBV سویه ayw می باشد [۱۷]، به روش PCR با استفاده از یک جفت پرایمر Forward: 5' ACTGTTGGATCCTCCAAGCTGTGC 3' و Reverse: 5' CTCGTCGGGATCCTTAAGTAGTCTCCG 3' و

منتقل گردید و ۱۵ میکرولیتر از Ni-NTA agarose به آن افزوده و ۳۰ دقیقه در ۴ درجه سانتیگراد به همراه تکانهای آرام قرار داده شد. سپس به مدت ۱۰ ثانیه در ۱۰۰۰۰ rpm سانتریفوژ شده و مایع رویی دور ریخته شد و بر روی رسوب، ۱۰۰ میکرولیتر بافر شستشو افزوده شده و پس از ۱۰ ثانیه سانتریفوژ در ۱۰۰۰۰ rpm و دور ریختن مایع رویی مجدداً عمل شستشو انجام شد. سپس بر روی رسوب حاصل، ۲۰ میکرولیتر از بافر الوشن افزوده و پس از سانتریفوژ، مایع رویی به لوله میکروسانتریفوژ جدیدی منتقل شد و عمل الوشن دو بار دیگر نیز تکرار شد [۲۱]. در روش denaturing، بافرهای لیز کننده، شستشو و الوشن مورد نیاز جهت تخلیص حاوی ۱۰۰ mM NaH₂PO₄، ۱۰ mM Tris-HCl و ۸ M Urea و pH به ترتیب ۸، ۶/۳ و ۵ بودند. در ابتدا رسوب باکتری در ۱۰۰ میکرولیتر از بافر لیز کننده حل شده و سپس ۱۰ دقیقه سانتریفوژ در ۱۰۰۰۰ rpm انجام گرفت و مایع رویی به لوله میکروسانتریفوژ جدیدی منتقل شده و ۲۵ میکرولیتر از Ni-NTA agarose به آن افزوده گشته و به مدت ۳۰ دقیقه در دمای اتاق قرار داده شد. پس از این مدت، سانتریفوژ به مدت ۱۰ ثانیه در ۱۰۰۰۰ rpm انجام گشت و مایع رویی دور ریخته شد. سپس رسوب حاصل دو بار با ۲۰۰ میکرولیتر از بافر شستشو، شسته شد و نهایتاً بر روی رسوب سه بار به میزان ۲۰ میکرولیتر بافر الوشن افزوده و پس از سانتریفوژ، مایع رویی در سه لوله میکروسانتریفوژ ریخته شد و محتویات هر سه لوله به همراه لوله های روش native و نمونه های قبل و پس از القاء جهت SDS-PAGE آماده شدند [۲۱].

ارزیابی خواص آنتی ژنیک HBeAg تولید شده: برای ارزیابی خواص آنتی ژنیک و قابلیت کاربرد تشخیصی پروتئین نوترکیب از دو روش الایزا و وسترن بلائینگ استفاده گردید. جهت انجام الایزا از کیت Enzygnost HBe

بعنوان نمونه القاء شده و دو نمونه دیگر جهت مراحل تخلیص بصورت native و denaturing در مقیاس کم (miniscale) در نظر گرفته شدند [۱۹]. به منظور بهینه سازی بیان پروتئین نوترکیب، پارامترهایی نظیر سویه های میزبان، محیط کشت، دمای رشد، دانسیته سلولی در زمان القاء، غلظت ماده القاء کننده و مدت زمان القاء بررسی شدند تا بهترین شرایط جهت بیان HBeAg نوترکیب بدست آید و پس از دستیابی به این شرایط، بیان و تخلیص پروتئین در مقیاس ۵۰ میلی لیتری انجام شد. کلیه نمونه ها پس از تعیین دانسیته باکتریها با اندازه گیری جذب نوری در ۶۰۰ nm و همگن سازی، به روش SDS-PAGE در ژل ۱۵٪ بررسی و مقایسه گردیدند [۲۰]. برای تعیین میزان تولید پروتئین نوترکیب نیز از دو روش densitometric scanning of the gel و اندازه گیری جذب نوری در ۲۸۰ nm استفاده گردید [۱۸].

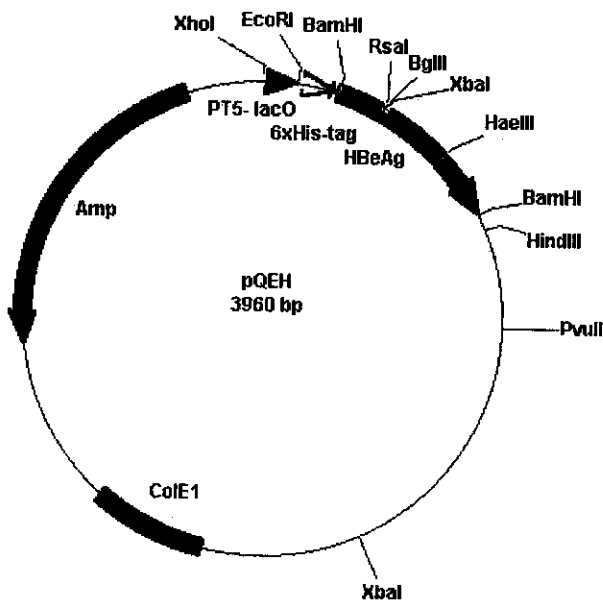
تخلیص پروتئین نوترکیب به روش native و denaturing: روند تخلیص بر طبق پروتکل ارائه شده توسط شرکت سازنده (Qiagen) Ni-NTA agarose و بر اساس روش عمومی MCAC (Metal chelated affinity chromatography) صورت پذیرفت [۱۵ و ۲۱]. بافرهای لیز کننده، شستشو و الوشن مورد نیاز جهت تخلیص در حالت native حاوی ۵۰ mM NaH₂PO₄، ۳۰۰ mM NaCl و به ترتیب ۵، ۲۰ و ۲۵۰ میلی مولار ایمیدازول با pH=۸ بودند. جهت تخلیص پروتئین بصورت native تمام مراحل کار در ۴ درجه سانتی گراد انجام شد بدین صورت که ابتدا رسوب سلولی در ۵۰ میکرولیتر از بافر لیز کننده حل شده و مقدار ۱ mg/ml لیزوزیم به آن افزوده شده و سی دقیقه در یخ قرار داده شد. سپس لوله میکروسانتریفوژ به مدت ۱۰ دقیقه در ۱۰۰۰۰ rpm در ۴ درجه سانتی گراد سانتریفوژ شده و مایع رویی به لوله میکروسانتریفوژ جدید و از قبل سرد شده،

باند‌های پروتئینی مورد نظر مشاهده شد.

نتایج

آنالیز آنزیمی ژن تکثیر شده HBeAg و پلاسمید نو ترکیب: جهت اطمینان از اینکه ژن حاصل از PCR دارای الگوی هضم آنزیمی ژن HBeAg است، هضم محصول PCR توسط دو آنزیم محدودالثر *Rsa I* و *Hae III* انجام گرفت و قطعات مورد پیش بینی با توجه به اندازه ۴۹۹ جفت بازی HBeAg بدست آمد (شکل ۲). لازم به ذکر است که جهت تعیین اندازه قطعات بدست آمده، از نرم افزار (LabWorks 4.0 (UVP Ltd.) استفاده گردید.

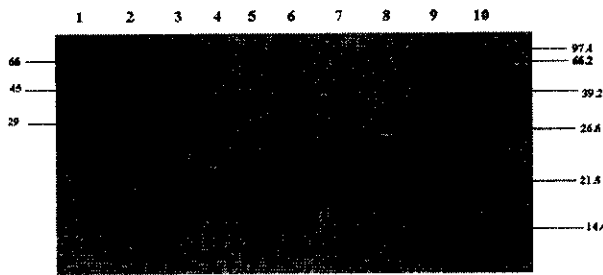
جهت اطمینان از صحت کلونینگ، پلاسمید نو ترکیب تحت تاثیر آنزیم *BamHI* قرار گرفت تا خروج قطعه هم اندازه محصول PCR تایید شود. سپس جهت تایید کاست بیانی و صحت جهت کلونینگ، برش با آنزیمهای محدود کننده متعدد در بدنه و کتور و ژن کلون شده انجام شد (شکل ۱) (نتایج برش نشان داده نشده است).



شکل ۱: ساختار و کتور بیانی pQE1 و نقشه هضم آنزیمی آن. PT5-
lacO: پروموتور فاز T5 و اپراتورهای lac

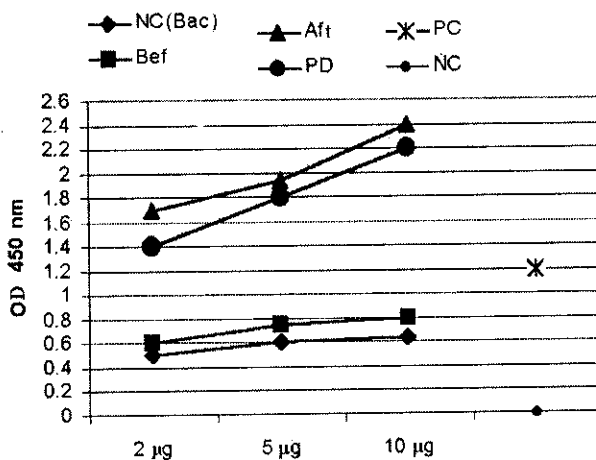
monoclonal (Behring) طبق پروتکل شرکت سازنده استفاده شد که شناسایی HBeAg را به روش الایزای ساندویچ مستقیم (Direct sandwich ELISA) انجام می‌دهد. به این صورت که آنتی ژن نو ترکیب تولید شده درون میکروپلیت پوشیده شده از Anti-HBe Ab افزوده گردید و پس از شستشو، آنتی بادی کنژوگه با پراکسیداز (Anti-HBe/POD conjugate) اضافه شد و در نهایت با افزودن کروموزن TMB، شدت رنگ ایجاد شده در طول موج ۴۵۰ nm قرائت گردید. روش الایزای ساندویچ جهت شناسایی آنتی ژن، ۲ تا ۵ برابر حساستر از روشی است که در آن آنتی ژن مستقیماً به میکروپلیت متصل گردد [۲۲]. جهت اثبات عدم تداخل HBeAg نو ترکیب بیان شده با خصوصیات آنتی ژنیک HBeAg، الایزای رقابتی مستقیم (Direct competitive ELISA) با استفاده از کیت Enzygnost Anti-HBe monoclonal (Behring) طبق پروتکل شرکت سازنده انجام گردید. بطور خلاصه آنتی ژن نو ترکیب تولید شده پس از انکوباسیون با Anti-HBe، به میکروپلیت پوشیده شده از HBeAg افزوده گردید و پس از شستشو، Anti-HBe/POD conjugate اضافه شد و شدت رنگ ایجاد شده پس از افزودن کروموزن TMB، در طول موج ۴۵۰ nm اندازه گیری شد.

در تحقیق حاضر، وسترن بلاتینگ به روش استاندارد [۱۸] با استفاده از Penta-His Ab (علیه اپی توپ هیستیدینی) و نیز Monoclonal Anti-HBe (علیه اپی توپ خطی HBeAg نو ترکیب) انجام گرفت. بطور خلاصه، پس از انتقال باند‌های پروتئینی به غشاء نیتروسولولزی و انکوباسیون با Anti-HBe (رقعت ۱/۱۰۰۰)، آنتی بادهای متصل نشده توسط شستشو با محلول PBS از محیط عمل خارج شدند و آنتی بادی ثانویه کنژوگه با پراکسیداز (رقعت ۱/۶۰۰۰) افزوده گردید و پس از افزودن سویسترای رنگزا (DAB)،

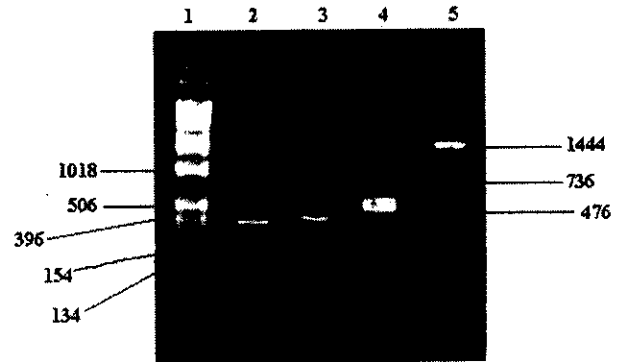


شکل ۳: الکتروفورز نمونه های قبل و پس از القاء و پروتئین تخلیص شده. ستون ۱: مارکر، ستون ۲: نمونه قبل از القاء، ستون ۳: نمونه پس از القاء، ستونهای ۴ و ۵: پروتئینهای تخلیص شده به روش native، ستونهای ۶ و ۷: پروتئینهای تخلیص شده به روش denaturing

در مرحله بعد آنتی ژنیسته HBeAg نو ترکیب مورد ارزیابی قرار گرفت. آزمایش ELISA بر روی غلظتهای ۲، ۵ و ۱۰ میکروگرمی از نمونه قبل از القاء و نمونه پس از القاء که به روش denaturing لیز و پروتئین آنها تخلیص شده بود و نیز کنترل مثبت (PC) و کنترل منفی (NC) مربوط به خود کیت انجام گرفت و نتایج حاصل مؤید آنتی ژنیسته مناسب نمونه های پس از القاء بودند (شکل ۴).



شکل ۴: ارزیابی خصوصیت آنتی ژنیک HBeAg نو ترکیب به روش ELISA (OD_{450nm}). NC(Bac): لیزات باکتری فاقد پلاسمید نو ترکیب، Bef: لیزات باکتری قبل از القاء، Aft: لیزات باکتری پس از القاء، PD: پروتئین تخلیص شده به روش denaturing، PC: کنترل مثبت کیت، NC: کنترل منفی کیت



شکل ۲: بررسی محصول PCR از لحاظ اندازه و تایید آن توسط آنزیمهای محدود کننده. ستون ۱: مارکر، ستون ۲: محصول PCR هضم شده با آنزیم *HaeIII* (قطعات با اندازه های ۱۷۷ bp و ۳۲۲ bp)، ستون ۳: محصول PCR هضم شده با آنزیم *RsaI* (قطعات با اندازه های ۱۲۱ bp و ۳۷۸ bp)، ستون ۴: محصول PCR بدون هضم آنزیمی (۴۹۹ bp)

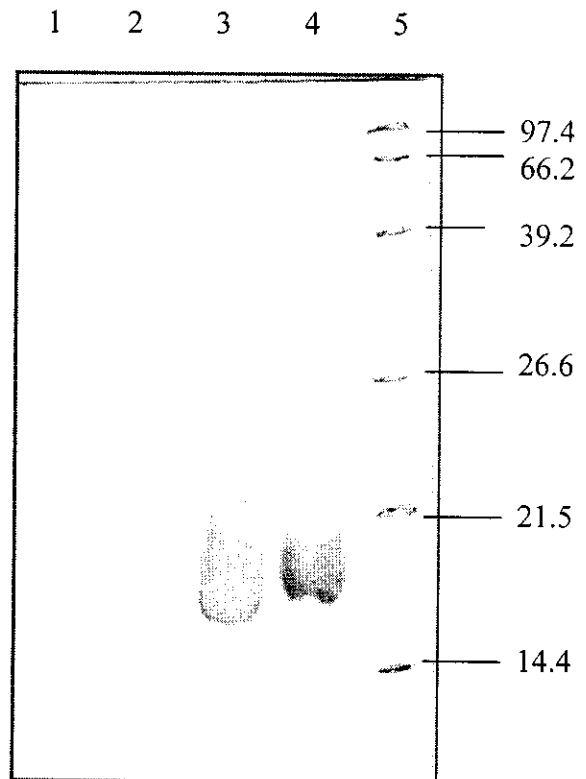
تخلیص و ارزیابی پروتئین نو ترکیب: پس از القاء چهار ساعته با کتریهای حاوی پلاسمید نو ترکیب توسط IPTG، نمونه ها به روش SDS-PAGE در ژل ۱۵٪ مورد ارزیابی قرار گرفتند. الکتروفورز برای نمونه های قبل از القاء و پس از القاء و نیز سه الوت روش native و سه الوت روش denaturing انجام شد که بیان پروتئین در نمونه پس از القاء به وضوح قابل مشاهده بود (شکل ۳) و همانطور که در ستونهای ۴ تا ۹ شکل ۳ مشهود است، نمونه های پروتئینی تخلیص شده، در روش denaturing در هر سه الوت وجود دارند و بدلیل بیان پروتئین بصورت اجسام انکلوژیونی نامحلول [۱۵]، در تخلیص به روش native (ستون های ۴ تا ۶)، پروتئینی مشاهده نگردید. اندازه ۱۹ کیلو دالتونی باند پروتئین تخلیص شده که بدنبال افزوده شدن برچسب هیستیدینی بدست آمده نیز مطابق با مقدار از قبل پیش بینی شده است.

میزان بیان بر اساس روش densitometric scanning of the gel، حدود ۳۳٪ کل پروتئین های باکتری بوده و جذب نوری پروتئین تخلیص شده در ۲۸۰ nm نیز نشان داد که میزان تولید پروتئین نوترکیب ۶ mg/L بوده است.

بحث

در بیماری هپاتیت B که ویروسی به همین نام عامل آن است، کبد دچار نکروز، آماس و تغییرات پاتولوژیک می گردد [۲۳]. سیروز و کارسینوم هپاتوسلولار از عوارض مهم بیماری هپاتیت B به شماری می روند [۲۴]. در صورت درمان با داروهای نظیر اینترفرون آلفا، بروز موارد فوق به حداقل می رسد ولی بدلیل وجود عوارض جانبی و گرانی و نیز عدم پاسخ به درمان در تمام بیماران، در استفاده از این داروها محدودیت وجود دارد [۲۵]. بدین جهت از دو روش یعنی اندازه گیری کمی DNA ویروس و نیز میزان HBeAg [۲۶] و یا آنتی بادی علیه آن در سرم بیمار به منظور کنترل پاسخ به درمان استفاده می شود. سنجش میزان HBeAg به روش الایزا که روشی ساده و قابل انجام در همه آزمایشگاهها است، بر روش اول (اندازه گیری کمی DNA ویروس) ارجحیت دارد [۸]. در حال حاضر آنتی ژن مورد نیاز جهت ساخت کیت الایزا به روش نوترکیب و در میزبانهای *E. coli* و ساکاروماسیس سروریه تهیه می شود [۱۰ و ۱۱ و ۱۲ و ۱۳]. دسترسی به HBeAg علاوه بر مصارف تشخیصی، جهت مطالعه بر روی خصوصیات فیزیولوژیک این آنتی ژن نیز مورد نیاز است بطوریکه از این آنتی ژن در تحقیقات متعددی از جمله تفاوت ایمنی زایی سلولی این آنتی ژن با HBcAg [۲۷] و نیز بررسی فعال شدن ایمنی هومورال توسط آن [۲۸] استفاده شده است. مزایای سیستم بیانی *E. coli* [۱۴ و ۱۵] و نیز فواید برجسبهای فیوژن (Fusion tags) خصوصا برجسبهای هیستیدینی در تسهیل تخلیص و شناسایی پروتئین [۱۶]، مهمترین عوامل ترغیب

نتایج آزمایش وسترن بلائینگ با استفاده از Penta-His Ab و Monoclonal Anti-HBe نیز نشان داد که پروتئین تولید شده حاوی اپی توپ هیستیدینی و نیز اپی توپهای آنتی ژنیک HBeAg می باشد (شکل ۵). با انجام آزمون الایزا جهت اثبات عدم تداخل خصوصیات آنتی ژنیک HBeAg نوترکیب تولید شده با HBcAg نیز نشان داده شد که پروتئین تولید شده فقط خصوصیات آنتی ژنیک HBeAg را دارا می باشد. در نهایت پس از بهینه سازی شرایط بیان پروتئین، نشان داده شد که در سوبه *E. coli* M15 در دمای ۳۷ درجه سانتیگراد و محیط کشت 2xYT و ۴ ساعت پس از القاء با غلظت ۰/۰۵ mM از IPTG در OD₆₀₀ = ۰/۷ در زمان القاء در محیط کشت ۵۰ میلی لیتری،



شکل ۵: وسترن بلائینگ با استفاده از Monoclonal Anti-HBe. ستون ۱: کنترل منفی، ستون ۲: نمونه قبل از القاء، ستون ۳: نمونه پس از القاء، ستون ۴: پروتئین تخلیص شده به روش denaturing، ستون ۵: مارکر

کننده جهت انجام طرح تحقیقاتی حاضر می باشند.

در این مطالعه، ابتدا ژن HBeAg از کدون شماره ۱۰ ناحیه precore تا قبل از توالی غنی از آرژنین انتهایی کربوکسیل بوسیله واکنش زنجیره ای پلیمرز (PCR) و با استفاده از وکتور pHB-320 بعنوان الگو که حاوی ژنوم کامل ویروس هپاتیت B سویه ayw است [۱۷]، جدا سازی شد (شکل ۲). در مرحله بعد برش محصول PCR و وکتور pQE-30 با آنزیم BamHI انجام شده و کلونینگ محصول PCR در پلاسمید فوق منجر به ایجاد ساختار بیانی pQEH گردید (شکل ۱). وکتور pQE-30 حاوی دو اپراتور *lac* پروموتور T5 و منطقه اتصال ریبوزوم (RBS II) در انتهای ۵ محل ورود ژن خارجی است که باعث بیان بالای پروتئین نو ترکیب کلون شده در این وکتور می گردد [۲۱].

وکتور نو ترکیب pQEH به *E. coli* DH5 α ترانسفورم شد و از آنجایی که دو سر قطعه کلون شده در وکتور با آنزیم BamHI برش داده شده بود، امکان کلونینگ در جهت معکوس وجود داشت بنابراین با استفاده هضم آنزیمی (Restriction mapping) علاوه بر تایید صحت جهت قطعه کلون شده، صحت کلونینگ نیز مورد ارزیابی قرار گرفت. پس از اطمینان از صحت کلونینگ، وکتور pQEH به سویه بیانی M15 باکتری *E. coli* منتقل گردید. این سویه حاوی پلاسمید pREP4 می باشد [۲۱] که قادر است رپرسور LacI^q را تولید کرده و بصورت ترانس (trans) بیان در پلاسمید pQEH را مهار نماید. باکتری فوق تحت القاء با IPTG قرار گرفت و قابلیت تخلیص پروتئین به روش denaturing و عدم توفیق در تخلیص بصورت native نشان داد که پروتئین تولید شده بصورت اجسام انکلوژیونی تجمع یافته است. تشکیل این اجسام در مورد پروتئینهای دارای گروههای پروستتیک و پیوندهای دی سولفیدی می تواند باعث از دست رفتن فعالیت و ساختمان پروتئین گردد و گاه نیاز به استفاده از راهکارهایی مانند استفاده از غلظتهای کمتر

ماده القاء کننده، کاهش دمای رشد و بیان پروتئینها بصورت فیوژن وجود دارد تا حلالیت پروتئین افزایش یابد [۲۹]. نتایج آزمایشات ELISA و وسترن بلائینگ نشان داد که HBeAg نو ترکیب که بصورت اجسام انکلوژیونی تولید شده بود، علیرغم داشتن یک پیوند دی سولفیدی خصوصیات آنتی ژنیک خود را حفظ نموده و بنابراین نیازی به انجام مراحل مشکل و پرهزینه Refolding نبود [۵]. با توجه به تعیین وزن مولکولی باند HBeAg بر اساس میزان حرکت باندهای مارکر بر روی ژل SDS-PAGE (منحنی استاندارد)، مشاهده شد که وزن مولکولی HBeAg بیان شده، حدود ۱۹ کیلودالتون می باشد که مطابق با وزن مولکولی مورد انتظار بدنبال افزوده شدن برجسب RGS-His [۲۱] بود.

همچنین با توجه به قابلیت تخلیص توسط Ni-NTA agarose و واکنش با Penta-His Ab، انتهای آمینسی پروتئین نو ترکیب بطور کامل و بصورت فیوژن با برجسب هیستیدینی بیان شده است و این در حالست که افزوده شدن توالی RGS-His به ابتدای پروتئین نو ترکیب، باعث افزوده شدن سه اپی توپ اضافی به انتهای آمینسی پروتئین می شود [۱۷]. از آنجائیکه HBeAg نو ترکیب جهت مصارف تشخیصی و تحقیقات فیزیوپاتولوژیک تولید شده و نیز با توجه به نتایج آزمایشات ELISA و وسترن بلائینگ به نظر می رسد افزوده شدن این سه اپی توپ تاثیری بر خصوصیات آنتی ژنیک پروتئین تولید شده نداشته و از آن می توان بعنوان وسیله ای جهت تسهیل تخلیص (تخلیص یک مرحله ای) و تشخیص پروتئین نو ترکیب استفاده کرد بطوریکه در تحقیق حاضر نیز نه تنها از Penta-His Ab بصورت موفقیت آمیزی جهت شناسایی فیوژن پروتئین تولید شده، استفاده گردید بلکه شناسایی خود اپی توپ آنتی ژنیک HBeAg نیز بوسیله Monoclonal Anti-HBe با موفقیت صورت پذیرفت که البته عدم تغییر در ساختمان و

نتایج حاصل از بررسی پارامترهای قبل نیز دخالت داده شده است. پارامترهایی که مورد بررسی قرار گرفتند، شامل سویه میزان، دما و محیط کشت، دانسیته سلولی در زمان القا، غلظت ماده القا کننده (IPTG) و مدت زمان القا بود. در نهایت با بهینه سازی میزان بیان پروتئین، تولید HBeAg نو ترکیب در این تحقیق به ۲۳٪ کل پروتئینهای باکتری رسید. این در حالیست که در یک مطالعه میزان بیان این آنتی ژن در *E. coli*، ۱۵٪ کل پروتئینهای باکتری بوده [۱۱] و در یک پژوهش دیگر، HBeAg بیش از ۶۵٪ کل آنتی ژنهای بیان شده در ساکارومایسس سرویزیه حاوی پلاسمید نو ترکیب را تشکیل داده است [۱۳].

بطور خلاصه در این پژوهش برای نخستین بار محصول HBeAg نهایی (p17) بصورت موفقیت آمیزی بصورت فیوژن با برجسب هیستیدینی بیان گردید و طبق نتایج بدست آمده به نظر می رسد که افزوده شدن این برجسب که جهت تسهیل تخلیص و شناسایی پروتئین بکار می رود، تاثیری بر روی خصوصیات آنتی ژنیک این آنتی ژن نداشته است و آنتی ژن تولید شده و تخلیص شده به روش denaturing قابلیت کاربرد در حوزه های تشخیصی و تحقیقی را دارد.

تشکر و قدردانی

در این تحقیق از کمکهای بیدریغ آقایان فرامرز تقوی نژاد، آرش معمارنژادیان و دکتر کیهان آزادمنش برخوردار بوده ایم و بدینوسیله از این عزیزان تشکر می نمایم.

منابع

[1] افضلی، ح.، تقوی اردکانی، ع.، والسی، غ. سرواپیدمیولوژی هپاتیت B و C در اهداء کنندگان خون

عمل پروتئینها بدنبال افزودن توالی 6xHis-tag در بسیاری از مطالعات قبلی نیز مشاهده شده است [۳۰ و ۳۱ و ۳۲].

تا کنون در پژوهشهای انجام شده، پیش ساز ۲۵ کیلودالتونی HBeAg (p25 precore protein) و پیش ساز ۲۲ کیلودالتونی آن (p22) و نیز توالی کد کننده HBeAg نهایی (p17) که شامل ۱۰ اسید آمینه ناحیه precore بوده و فاقد توالی غنی از آرژنین می باشد، در میزبانهای مختلفی از جمله *E. coli* و ساکارومایسس سرویزیه بیان شده اند [۱۳ و ۳۳ و ۳۴ و ۳۵]. بر طبق این پژوهشها، هر سه پلی پپتید بیان شده، واجد خصوصیات آنتی ژنیک HBeAg بوده اند و واکنش متقاطع با HBeAg نشان نداده اند. بر طبق یکی از این مطالعات [۳۳]، محصول HBeAg نهایی (p17) نسبت به پیش سازهای آن افینیتی بیشتری برای اتصال به سرم بیماران anti-HBe مثبت نشان داده است. در این پژوهش نیز نشان داده شد که علیرغم افزوده شدن برجسب هیستیدینی به ژن کد کننده محصول HBeAg نهایی (p17)، پروتئین بیان شده دارای خصوصیات آنتی ژنیک مناسب بوده است که احتمالاً آنرا کاندیدای مناسبی جهت کاربری در تستهای تشخیصی و آزمایشگاهی می نماید که پس از مطالعات سرولوژیک با سرم بیماران Anti-HBe مثبت، مشخص خواهد گردید..

در تحقیق حاضر هدف از بهینه سازی شرایط بیان، افزایش میزان ابراز پروتئین ولو بصورت غیر محلول بوده است. به این منظور چندین پارامتر موثر در میزان بیان پروتئین تغییر داده شد و حتی المقدور در بررسی هر فاکتور

شهرستان کاشان سال ۸۰-۱۳۷۵، فصلنامه علمی- پژوهشی فیض، شماره ۲۳، (پائیز ۱۳۸۱)، ۴۳-۵۰.

- [2] Grann, O.A. and Webstern, R.G. *Encyclopedia of virology*, 2nd edition, Vol. 1, Academic press, New York, (1999).
- [3] Milich, D. and Schodel, F. The hepatitis B virus core and e antigens elicit different Th cell subsets: Antigen structure can affect Th cell phenotype, *J. Virol.*, 71 (1997) 2192-2201.
- [4] Aiba, N. and Mcgarrey, M.J. The precore sequence of hepatitis B virus is required for nuclear localization of the core protein, *Hepatology*, 26 (1997) 1311-1317.
- [5] Fields, B.V. *Fields virology*, 4th edition, Lippincott- Raven publishers, (2001).
- [6] Omata, M., Ehata, T., Yokosuka, O. et al. Mutations in the precore region of hepatitis B virus DNA in patients with fulminant and sever hepatitis, *N. Eng. J. Med.*, 324 (1991) 1699-1704.
- [7] Hasegawa, K., Huang, J., Rogers, S.A., Blum, H.E. and Liang, T.J. Enhanced replication of a hepatitis B virus mutant associated with an epidemic fulminant hepatitis, *J. Virol.*, 68 (1994) 1651-1659.
- [8] Bernal, F., Raymond, G., Willems, B. and Villeneuve, J.P. Quantitative assessment of serum hepatitis B e antigen, IgM hepatitis B core antibody and HBV DNA in monitoring the response to treatment in patients with chronic hepatitis, *J. Viral Hepatitis*, 4 (1997) 256-272.
- [9] Ou, J.H. Molecular biology of hepatitis B virus e antigen, *J. Gastro Hepatol.*, 12 suppl. (1997) S178-S187.
- [10] Inada, T., Misumi, Y., Kanazaki, S., Shibata, Y., Oka, Y. and Onada, H. Synthesis of hepatitis B virus e antigen in *E.coli*, *Virus Res*, 14 (1989) 27-48.
- [11] Wu, G.H. and Huang, Y.X. Synthesis of a recombinant DNA derived HBV e antigen and its application in diagnosis, *Chin. J. Biotech.*, 6 (1990) 179-187.
- [12] Hollinger, F.B., Lemon, S.M. and Margolis, H. *Viral hepatitis and liver disease*, Williams and Wilkins, Baltimore, (1991).
- [13] Broker, M., Noah, M., Nassal, M. et al. Expression of hepatitis B virus core gene products with specific immunoreactivity for e antigen (HBeAg) in *Saccharomyces cerevisiae*, *J. Biotech.*, 29 (1993) 243-255.
- [14] Smith, A. and Dekker, M. *Gene expression in recombinant microorganisms*, Marcel Dekker Inc., (1994).
- [15] Glover, D.M., and Hames, B.D. *DNA cloning 2*, 2nd edition, IRL press, (1995).
- [16] Thorner, J., Emr, S.D. and Abelson, J.N. Applications of chimeric genes and hybrid proteins, *Meth. Enzymol.*, 326 (2000) 245-254.
- [17] Bichko, V., Pushko, P., Dreilina, D., Pumpens, P. and Grens, E. Subtype ayw variant of hepatitis B virus: DNA primary structure analysis, *FEBS Letters*, 185 (1985) 208-212.
- [18] Sambrook, J. and Russell, D.W. *Molecular cloning*, 3rd edition, CSHL press, (2001).
- [19] Higgins, S.J. and Hames, B.D. *Protein expression: A practical approach*, Oxford university press, (1999).
- [20] Laemmeli, V. Cleavage of structural protein during the assembly of the heated bacteriophage T4, *Nature*, 227 (1970) 680-685.
- [21] *Qiaexpress detection and assay handbook*, Qiagen Company, (1999).
- [22] Ausubel, F.M., Brent, R., Kingstone, R.E., Moore, D.D., Seidman, J.G. and Smith, J.A. *Short protocols in molecular biology*, 4th edition, John Wiley & Sons Inc., (1999).
- [23] Kew, M.C. Hepatitis viruses and hepatocellular carcinoma, *Res. Virol.*, 149 (1998) 257-267.
- [24] Collier, L., Balows, A. and Sussam, M. *Topley and Wilson's microbiology and microbial infections*, 5th edition, Vol. 1, Arnold publication, (1998).
- [25] Heijthink, R.A. and Snobel, J. Quantitative measurment of HBeAg in chronic hepatitis B, *J. Med. Virol.*, 47 (1995) 245-250.

- [26] Alagiozian, A. and Antonov, K. Clinical significance of serum HBeAg and HBV DNA-specific values of virus replication in chronic hepatitis B virus infection, *Folia Med.*, 40 (1998) 34-41.
- [27] Milich, D.R., Mclechnan, A., Stahl, S. et al. Comparative immunogenicity of hepatitis B virus core and e antigens, *J. Immunol.*, 141 (1988) 3617-3624.
- [28] Lazdina, U., Cao, T., Steinbergs, J., Alheim, M. et al. Molecular basis for the interaction of the hepatitis B virus core antigen with the surface immunoglobulin receptor on naive B cells, *J. Virol.*, 75 (2001) 6367-6374.
- [29] Georgiou, G. and Valax, P. Expression of correctly folded proteins in *E.coli*, *Curr. Opin. Biotechnol.*, 7 (1996) 190-197.
- [30] Dobeli, H. et al. Expression, purification, biochemical characterization and inhibition of recombinant Plasmodium falciparum aldolase, *Mol. Biochem. Parasitol.*, 41 (1990) 259-268.
- [31] Stuber, G., Vandy, F., Pocsik, E., Benczar, M. and Kleim, E. Expression of interleukin 2 receptor on blood lymphocytes of allogeneized individuals and the auto tumor stimulation show similar kinetics of activation, *Cancer Immunol Immunother.*, 31 (1990) 76-80.
- [32] Takes, B.J. and Grrad, M.F. Prepration of clinical grade proteins produced by recombinant DNA technologies, *J. Immunol. Meth.*, 143 (1991) 231-240
- [33] Hwang, G.Y., Wang, J.C. and Wu, C.C. Immunological characterization of two major secreted forms of recombinant hepatitis B virus e antigens, *Virus Res.*, 59 (1999) 203-210.
- [34] Miyanoara, A., Imamura, T., Araki, M. et al. Expression of hepatitis B virus antigen gene in *Saccharomyces cerevisiae*: synthesis of two polypeptides translated from different initiation codons, *J. Virol.*, 59 (1986) 176-180.
- [35] Fuyuan, Z., Lili, S., Kamgxian, L. and Jinlin, H. Cloning and expression and purification of hepatitis B e-antigen precursor in *Escherichia coli*, *Chin. Med. J.*, 115 (2002) 722-725.